

ОБЪЕДИНЕННЫЙ
ИНСТИТУТ
ЯДЕРНЫХ
ИССЛЕДОВАНИЙ
ДУБНА



И-20

3535/2-75

С.П.Иванова, А.А.Кулиев, Д.И.Саламов

22/1x-75

P4 - 8972

СИЛОВЫЕ ФУНКЦИИ β^+ -РАСПАДА
ИЗОТОПОВ $^{117-123}\text{Ba}$

1975

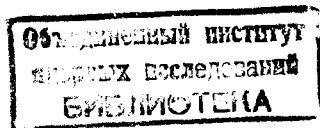
P4 - 8972

С.П.Иванова, А.А.Кулиев,* Д.И.Саламов*

СИЛОВЫЕ ФУНКЦИИ β^+ -РАСПАДА
ИЗОТОПОВ $^{117-123}\text{Ba}$

Направлено в ЯФ

* Институт физики АН Азерб.ССР



ВВЕДЕНИЕ

В последнее время проводятся интенсивные исследования свойств ядер, находящихся вдали от линии β -стабильности. При β -распаде этих ядер заселяются высоко-лежащие уровни соседних ядер, которые в свою очередь излучают запаздывающие протоны или нейтроны. Исследования формы протонного /нейтронного/ спектра позволяют получить сведения о силовой функции β -распада и о структуре заселяемых состояний.

Недавно были открыты новые излучатели запаздывающих $^{2+}$ протонов и получена информация о силовых функциях $\beta^{(+)}\text{-распада}$ в изотопах $^{119,121}\text{Ba}$. Предполагается, что основной вклад в силовую функцию дают разрешенные гамов-теллеровские /Г-Т/ переходы, связанные с фрагментированными по спектру частично-дырочными возбуждениями ($1g_{7/2}^{+}, 1g_{9/2}^{-}$) для сферического ядра и $|n[404], p[404]\rangle$ в случае деформированного нечетно-нечетного остова. Максимум силовой функции расположен в области энергий 5 МэВ в спектре возбуждений дочернего ядра.

Качественное теоретическое исследование силовой функции β -распада впервые провели Икеда и др.^[3,4] для объяснения замедления скорости разрешенных Г-Т β -переходов между низколежащими состояниями тяжелых ядер. В дальнейшем Ямада и др.^[5,6] развили статистическую теорию β -распада, в которой были получены некоторые общие закономерности поведения силовой функции, наблюдаемые в эксперименте. Микроскопическое описание силовой функции β -распада на основе оболочечной модели со спариванием и зарядовообменными

остаточными силами было проведено в работах /7-9/. Изучение силовой функции в деформированных /7,8/ и сферических /9/ ядрах показало, что теория дает возможность проследить не только энергетическую зависимость силовой функции, но и предсказать, какие переходы играют доминирующую роль в ее формировании.

В данной работе проведены расчеты энергий Г-Т возбуждений и $\beta^{(+)}$ -распада их в рамках вышеуказанной модели /7,8/ для нечетных изотопов $^{117-123}\text{Ba}$. В расчетах использовались схемы одночастичных уровней в сферическом и деформированном потенциалах Саксона-Вудса /15,16/.

ГАМИЛЬТОНИАН ВЗАИМОДЕЙСТВИЯ

Схематические остаточные взаимодействия, зависящие от спиновых и изоспиновых координат нуклонов, выберем в следующем виде /11,12/:

$$V_{\sigma\tau}(1,2) = \kappa_\beta \vec{\sigma}_1 \vec{\sigma}_2 \vec{\tau}_1 \vec{\tau}_2, \quad /1/$$

где $\vec{\sigma}$ и $\vec{\tau}$ - спиновые и изотопические матрицы, соответственно. Гамов-теллеровскими силами называется часть этого взаимодействия, содержащая τ_\pm -матрицы, превращающие нейtron в протон и обратно. Эти силы сильно влияют на скорость Г-Т β -распадов /11-14/ и генерируют в нечетно-нечетных атомных ядрах коллективную ветвь высоколежащих возбуждений со спином и четностью 1^+ /8-10,13/. Отметим, что $\kappa_\beta \vec{\sigma} \vec{\sigma} \tau_z \tau_z$ компонента взаимодействия /1/ возмущает магнитные дипольные моменты и $M1$ -переходы в ядрах.

Будем полагать, что все радиальные матричные элементы взаимодействия /1/ одинаковы и что они включены в константу взаимодействия κ_β , которая зависит от N и Z следующим образом:

$$\kappa_\beta = \frac{N-Z}{A} \kappa_0, \quad /2/$$

где κ_0 - параметр, определяемый из расчетов $lg ft$ для нечетных ядер.

Часть взаимодействия /1/, влияющую на бета-процессы, запишем в представлении вторичного квантования:

$$V_\beta^{\Gamma-T} = 2 \kappa_\beta \sum_\mu T_\mu^{(+)} T_\mu^{(-)}, \quad /3/$$

где

$$T_\mu^{(+)} = \sum_{(jm)} \frac{\langle j_n || \vec{\sigma} || j_p \rangle}{\sqrt{2j_n + 1}} \langle j_p m_p | 1_\mu | j_n m_n \rangle a_{j_n m_n}^+ a_{j_p m_p}^- \quad /4/$$

$a_{j_n m_n}^+ (a_{j_p m_p}^-)$ - операторы рождения /уничтожения/ нейтрона /протона/, $\langle j_n || \vec{\sigma} || j_p \rangle$ - одночастичные приведенные матричные элементы оператора $\vec{\sigma}$.

В дальнейшем используем свойство операторов

$$T_\mu^{(+)} = T_\mu^{(-)\dagger}. \quad /5/$$

После перехода к представлению квазичастиц оператор $T_\mu^{(+)}$ принимает вид

$$T_\mu^{(+)} = T_\mu^Q + T_\mu^B, \quad /6/$$

где введены следующие обозначения:

$$T_\mu^Q = \sum_{np} \{ d_{pn} D_{np}^+(\mu) + (-1)^\mu \bar{d}_{pn} D_{pn}^-(\mu) \} \quad /6a/$$

$$T_\mu^B = \sum_{np} \{ \bar{b}_{pn} C_{np}^+(\mu) + (-1)^\mu b_{pn} C_{np}^-(\mu) \} \quad /6b/$$

$$D_{np}^+(\mu) = \{ \alpha_{j_n}^+ \alpha_{j_p}^+ \} \frac{1}{\mu}; \quad C_{np}^+(\mu) = \{ \alpha_{j_n}^+ \alpha_{j_p}^+ \} \frac{1}{\mu} \quad /7/$$

$$d_{pn} = \frac{1}{\sqrt{3}} u_p u_n \langle j_n || \vec{\sigma} || j_p \rangle, \quad \bar{d}_{pn} = \frac{1}{\sqrt{3}} v_p v_n \langle j_n || \vec{\sigma} || j_p \rangle$$

$$b_{pn} = \frac{1}{\sqrt{3}} u_p v_n \langle j_n || \vec{\sigma} || j_p \rangle, \quad \bar{b}_{pn} = \frac{1}{\sqrt{3}} v_n u_p \langle j_n || \vec{\sigma} || j_p \rangle.$$

Здесь $\alpha^+(a)$ - операторы рождения /уничтожения/ квазичастиц, а u и v - коэффициенты преобразования Боголюбова.

С помощью формул /5/ и /6/ взаимодействие /3/ можно представить таким образом *:

$$V_\beta^{\Gamma-T} \approx V_\beta^{\text{coll}} + V_\beta^{\text{int}}, \quad /8/$$

где

$$V_\beta^{\text{coll}} = 2\kappa_\beta \sum_\mu T_\mu^B T_\mu^{B+} \quad /8a/$$

$$V_\beta^{\text{int}} = 2\kappa_\beta \sum_\mu T_\mu^q T_\mu^{B+} + \text{с.с.} \quad /8b/$$

Здесь V_β^{coll} описывает коллективные возбуждения типа частица-дырка в нечетно-нечетных ядрах, а V_β^{int} соответствует взаимодействию квазичастиц с коллективными возбуждениями и играет существенную роль в нечетных ядрах.

Полный гамильтониан системы включает в себя также движение свободных квазичастиц

$$H_{\text{sqp}} = \sum_{(j_\tau m_\tau)} E_{j_\tau} \alpha_{j_\tau m_\tau}^+ \alpha_{j_\tau m_\tau}, \quad \tau = n, p, \quad /9/$$

* В /8/ не учтены члены типа $T_\mu^q T_\mu^{q+}$, которые приводят к простому сдвигу всех одноквазичастичных уровней и несущественны для последующего рассмотрения.

где $E_{j_\tau} = \sqrt{(\epsilon_{j_\tau} - \lambda_\tau)^2 + \Delta_\tau^2}$ - энергия квазичастиц, ϵ_{j_τ} - одночастичные энергии, λ_τ - химический потенциал, а Δ_τ - энергетическая щель, обусловленная парными взаимодействиями.

I^+ -ВОЗБУЖДЕНИЯ В НЕЧЕТНО-НЕЧЕТНЫХ ЯДРАХ

Предположим, что взаимодействие /3/ в нечетно-нечетном ядре генерирует коллективные состояния, принадлежащие ветви нетождественных частично-дырочных возбуждений со спином и четностью I^+ . В гармоническом приближении модельный гамильтониан, описывающий эти возбуждения, выберем в виде

$$H = H_{\text{sqp}} + V_\beta^{\text{coll}}. \quad /10/$$

Коллективные I^+ -состояния рассматриваются как одинофононные возбуждения, волновая функция которых ищется в виде

$$|\Psi_i^+\rangle = Q_i^+ |\Psi_0\rangle + \sum_{npr} \{ r_{np}^i C_{np}^+(\mu) - s_{np}^i C_{np}^*(-\mu) \} |\Psi_0\rangle, \quad /11/$$

где r_{np}^i и s_{np}^i - двухквазичастичные амплитуды i -го возбуждения, а $|\Psi_0\rangle$ - фононный вакуум. Условие нормировки $|\Psi_i^+\rangle$ связывает r_{np}^i и s_{np}^i следующим образом:

$$\sum_{np} \{ r_{np}^{i+2} - s_{np}^{i+2} \} = 1. \quad /12/$$

Решив уравнения движения ¹³

$$[H, Q_i^+] = \omega_i Q_i^+, \quad /13/$$

находим секулярное уравнение для определения энергий возбуждения ω_i :

$$\left\{ \sum_{np} \left(\frac{b_{pn}^2}{\omega_i - E_{pn}} - \frac{\bar{b}_{pn}^2}{\omega_i + E_{pn}} \right) - \frac{1}{2\kappa\beta} \right\} \left\{ \sum_{np} \left(\frac{\bar{b}_{pn}^2}{\omega_i - E_{pn}} - \frac{b_{pn}^2}{\omega_i + E_{pn}} \right) - \frac{1}{2\kappa\beta} \right\} - \left\{ \sum_{np} b_{pn} \bar{b}_{pn} \left(\frac{1}{\omega_i - E_{pn}} - \frac{1}{\omega_i + E_{pn}} \right) \right\}^2 = 0, \quad /14/$$

где $E_{pn} = E_p + E_n$ - двухквазичастичная энергия нейтрон-протонной пары.

Как известно, при отбрасывании множителей, содержащих $\frac{1}{\omega_i + E_{pn}}$, получим секулярное уравнение в методе Тамма-Данкова.

Анализ уравнения /14/ показывает, что при положительном значении $\kappa\beta$ первое решение находится выше порога нейтрон-протонного двухквазичастичного возбуждения, и возможна ситуация, когда между некоторыми полюсами E_{pn}^i и E_{pn}^{i+1} не появляется решение ω_i , но зато в таком случае между другими полюсами будет два различных решения.

Воспользовавшись условием нормировки /12/, легко можно получить выражения для двухквазичастичных амплитуд r_{np}^i и s_{np}^i

$$r_{np}^i = \frac{1}{\sqrt{y_i}} \frac{\bar{b}_{pn} + L_i b_{pn}}{\omega_i - E_{pn}}, \quad /15/$$

$$s_{np}^i = \frac{1}{\sqrt{y_i}} \frac{b_{pn} + L_i \bar{b}_{pn}}{\omega_i + E_{pn}},$$

где L_i и y_i определены следующим образом:

$$L_i = \left\{ \frac{1}{2\kappa\beta} - \sum_{np} \left(\frac{\bar{b}_{pn}^2}{\omega_i - E_{pn}} - \frac{b_{pn}^2}{\omega_i + E_{pn}} \right) \right\} /$$

$$\left/ \sum_{np} b_{pn} \bar{b}_{pn} \left(\frac{1}{\omega_i - E_{pn}} - \frac{1}{\omega_i + E_{pn}} \right) \right. \\ \text{и} \\ y_i = \sum_{np} \left\{ \frac{(\bar{b}_{pn} + L_i b_{pn})^2}{(\omega_i - E_{pn})^2} - \frac{(b_{pn} + L_i \bar{b}_{pn})^2}{(\omega_i + E_{pn})^2} \right\}. \quad /16/$$

При переходе от сферического ядра к деформированному гамов-теллеровским 1^+ -состояния расщепляются на состояния, характеризуемые проекцией углового момента на ось симметрии $K = 0$ и 1 , и все формулы /13-/ /16/, полученные в сферическом случае, совпадают с формулами работ /8/.

Характерной величиной для гамов-теллеровских 1^+ -состояний является вероятность β -распада их на основные состояния соседних четно-четных ядер. Поскольку оператор $\beta^{(\pm)}$ -распада является генератором гамов-теллеровского возбуждения /см. /3/ и /4//, можно ожидать, что взаимодействие /3/ будет генерировать коллективные состояния, характеризующиеся большой вероятностью β -распада.

Матричные элементы β -распада четно-четного ядра на различные состояния ω_i в нечетно-нечетном ядре типа $0^+, 1^+$ равны /8/

$$M_{\beta^{(+)}}^i = \langle \Psi_0 | [Q_i, T_\mu^{(+)}] | \Psi_0 \rangle = \frac{1}{\kappa\beta\sqrt{2y_i}} \\ M_{\beta^{(-)}}^i = \langle \Psi_0 | [Q_i, T_\mu^{(-)}] | \Psi_0 \rangle = \frac{L_i}{\kappa\beta\sqrt{2y_i}}. \quad /17/$$

Можно показать, что эти матричные элементы удовлетворяют следующему правилу сумм /13/:

$$\sum_i \{ |M_{\beta^{(-)}}^i|^2 - |M_{\beta^{(+)}}^i|^2 \} = \sum_{np} (b_{pn}^2 - \bar{b}_{pn}^2). \quad /18/$$

Кроме индивидуальных характеристик отдельных состояний, полезно исследовать поведение усредненной по энергетическому интервалу ΔE силовой функции β -распада в зависимости от энергии возбуждения. Силовые функции β -распада, согласно /8/, определим следующим образом:

$$S_{\beta}^{(\pm)} = \frac{1}{\Delta E_{(\Delta E, i)}} \sum |M_{\beta}^{(\pm)}|^2. \quad /19/$$

Матричные элементы β -переходов определяются из /17/, а усреднение проводится на некотором интервале энергий возбуждений.

ГАМОВ-ТЕЛЛЕРОВСКИЕ ВЗАЙМОДЕЙСТВИЯ В НЕЧЕТНЫХ ЯДРАХ

Рассмотрим коллективные гамов-теллеровские колебания в нечетных ядрах. Предполагаем, что в нечетном ядре имеется одна квазичастица в дополнение к квазичастицам и фононам нечетно-нечетного остова. Волновую функцию нечетной системы ищем в виде

$$|\Psi_{j_k m_k}^{i^+}\rangle = \Omega_k^{i^+} |\Psi_0\rangle, \quad /20/$$

где

$$\Omega_k^{i^+} = N_{j_k} \alpha_{j_k m_k}^{i^+} + \sum_{(j, m, \mu, i)} R_{i i^+}^{j_k j_\nu} \langle j_\nu m_\nu | j_k m_k \rangle \alpha_{j_\nu m_\nu}^{i^+} Q_i^+(\mu).$$

В дальнейшем индекс k относим к нечетному нейтрону, а индекс ν - к нечетному протону. Амплитуды смешивания N_{j_k} и $R_{i i^+}^{j_k j_\nu}$ удовлетворяют условию нормировки:

$$N_{j_k}^2 + \sum_{(j, i)} R_{i i^+}^{j_k j_\nu} = 1. \quad /21/$$

В /20/ предполагается, что возмущением фона $Q_i^+(\mu)$ нечетной квазичастицы можно пренебречь, т.е. секулярное уравнение /14/ определяет энергию однофононных состояний, а /15/ r_{np}^i и s_{np}^i .

Гамильтониан, описывающий взаимодействия нечетной квазичастицы с 1^+ -фононами при помощи /8a/ и /8b/, можно представить в следующем виде:

$$H = H_{sqp} + V_{\beta}^{coll} + V_{\beta}^{int}. \quad /22/$$

Для ядра с нечетным числом нейтронов, решая уравнения движения

$$[H, \Omega_k^{i^+}] = W_i^k \Omega_k^{i^+}, \quad /23/$$

после несложных вычислений находим секулярное уравнение

$$W_i^k - E_{j_k} - \sum_{i, j_\nu} \frac{1}{y_i} \frac{(d_{k\nu} - L_i \bar{d}_{k\nu})^2}{W_i^k - \omega_i - E_{j_\nu}} \frac{3}{2j_k + 1} \quad /24/$$

Корни этого уравнения W_i^k описывают энергии состояний /20/, а ω_i - энергии 1^+ -возбуждений нечетно-нечетного острова. Используя условие нормировки /21/ и уравнение /23/, найдем одноквазичастичные и трехквазичастичные амплитуды N_{j_k} и $R_{i i^+}^{j_k j_\nu}$ соответственно:

$$N_{j_k} = 1 / \sqrt{1 + Z_{i^+}}$$

$$R_{i i^+}^{j_k j_\nu} = \sqrt{\frac{3}{2j_k + 1}} \frac{1}{\sqrt{y_i}} \frac{d_{k\nu} - L_i \bar{d}_{k\nu}}{W_i^k - \omega_i - E_{j_\nu}} N_{j_k}, \quad /25/$$

где

$$Z_{i^+} = \frac{3}{2j_k + 1} \sum_{i, j_\nu} \frac{1}{\sqrt{y_i}} \cdot \frac{(d_{k\nu} - L_i \bar{d}_{k\nu})^2}{(W_i^k - \omega_i - E_{j_\nu})^2}.$$

Для ядра с нечетным числом протонов в выражениях /24/ и /25/ следует провести замену $d_{k\nu} \leftrightarrow \bar{d}_{k\nu}$ и $k \leftrightarrow \nu$.

Теперь рассмотрим $\beta^{(\pm)}$ -переход между нечетными ядрами. Приведенная вероятность перехода выражается следующим образом:

$$B_{\Gamma-T}^{(\pm)}(j_k \rightarrow j_\nu) = \frac{1}{2j_k+1} |< j_\nu || T_\mu^{(\pm)} || j_k >|^2, \quad /26/$$

где $T_\mu^{(\pm)}$ оператор $\beta^{(\pm)}$ -перехода /см. /4//.

Как известно, в модели независимых квазичастиц β -переходы можно разделить на две группы:
 а/ переходы с распадом нечетного нуклона, т.е. когда число пар в системе не меняется;
 б/ переходы с изменением числа спаренных нуклонов в нейтронной /протонной/ системе.

Используя /4/, /20/ и /25/, после громоздких вычислений получим для приведенной вероятности $\beta^{(\pm)}$ -перехода между нечетными ядрами выражения:

а/ число пар в системе не меняется

$$B_{\Gamma-T}^{(\pm)}(k \rightarrow \nu) \approx \sigma_{k\nu}^2 u_k^2 u_\nu^2 N_{j_k}^2 N_{j_\nu}^2 (1 - 2\kappa_\beta \delta_1^{(-)} + 2\kappa_\beta \delta_2^{(-)})^2 \cdot \eta \quad /27/$$

б/ число пар в системе меняется

$$B_{\Gamma-T}^{(\pm)}(k \rightarrow \nu) \approx \sigma_{k\nu}^2 v_k^2 v_\nu^2 N_{j_k}^2 N_{j_\nu}^2 (1 - 2\kappa_\beta \delta_1^{(+)} + 2\kappa_\beta \delta_2^{(+)})^2 \cdot \eta, \quad /28/$$

где

$$\begin{aligned} \sigma_{k\nu}^2 &= < j_k || \vec{\sigma} || j_\nu > \\ \delta_1^{(+)} &= \sum_{i,i',j_\nu} \left\{ \frac{M_i^i \beta^{(+)}_i}{\omega_i + E_{j_\nu} - W_{i'}^k} + \frac{M_{j_\nu}^i \beta^{(+)}_{i'}}{\omega_i + E_{j_k} - W_{i'}^\nu} \right\} \\ \delta_1^{(-)} &= \sum_{i,i',j_\nu} \left\{ \frac{M_i^i \beta^{(-)}_i}{\omega_i + E_{j_k} - W_{i'}^\nu} + \frac{M_{j_\nu}^i \beta^{(-)}_{i'}}{\omega_i + E_{j_\nu} - W_{i'}^k} \right\} \\ \delta_2^{(+)} &= \sum_{i,i',j_\nu} \left\{ \frac{1}{\omega_i + E_{j_\nu} - W_{i'}^k} + \frac{1}{\omega_i + E_{j_k} - W_{i'}^\nu} \right\} \frac{u_k u_\nu}{v_k v_\nu} M_i^i \beta^{(+)} M_{j_\nu}^i \beta^{(-)} \end{aligned} \quad /29/$$

$$\delta_2^{(-)} = \sum_{i,i',j_\nu} \left\{ \frac{1}{\omega_i + E_{j_k} - W_{i'}^\nu} + \frac{1}{\omega_i + E_{j_\nu} - W_{i'}^k} \right\} \frac{u_k u_\nu}{v_k v_\nu} M_i^i \beta^{(+)} M_{j_\nu}^i \beta^{(-)}$$

и

$$\eta \equiv \begin{cases} (2j_1 + 1)^{-1}, & \text{если ядро сферическое,} \\ <j_i K_i | K_f - K_i | j_f K_f>^2, & \text{если ядро деформированное.} \end{cases}$$

Из /27/ и /28/ видно, что в предельном случае $\kappa_\beta = 0$, $N_{j_k} = N_{j_\nu} = 1$ получаем приведенные вероятности β -распада в одночастичной модели со спариванием.

РЕЗУЛЬТАТЫ РАСЧЕТОВ И ОБСУЖДЕНИЯ

В расчетах использовалась схема одночастичных уровней в сферическом и деформированном потенциалах Саксона-Вудса. Уравнения Шредингера с такими потенциалами решались методом, развитым в работах /15/. Параметры среднего поля и константа парного взаимодействия брались согласно работе /16/. При вычислении характеристик парного взаимодействия Δ_r и λ_r в сферически-симметричном базисе учитывалось 20 нейтронных и протонных уровней, а в аксиально-симметричном базисе - 77 нейтронных и протонных уровней. Константа гамов-теллеровского взаимодействия подбиралась так, чтобы получить удовлетворительное согласие расчетных и экспериментальных значений $lgft$ для ряда переходов между низколежащими состояниями нечетных ядер в области $A = 120$. Вычисления проводились по формулам /27/ и /28/, в которых учитываются поляризационные эффекты в материнском и дочернем ядрах.

Расчеты показывают, что гамов-теллеровские взаимодействия /3/ приводят к малым трехквазичастичным примесям в основном и низколежащих возбужденных состояниях. Эти примеси обычно не превышают 1% нормы волновой функции и слабо зависят от κ_β . На рис. 1 показаны результаты теоретических расчетов и экспериментальные значения $lgft$. Разумное согласие расчетов

с экспериментальными данными получается при значениях $\kappa_0 = 1,5 - 2 \text{ МэВ}/\text{см}$. формулу //2/. Эти значения κ_0 используются в последующих расчетах.

Известно, что легкие изотопы Ba, Cs и Xe имеют статическую равновесную деформацию, отличную от нуля. Теоретические расчеты равновесных деформаций и энергий деформаций для четно-четных ядер этой области проводились в работе //17/ с использованием потенциала Нильссона. Нейтроноизбыточные ядра этой области изучались в работе //18/ в одночастичной схеме потенциала Саксона-Вудса.

В данной работе вычисления параметров деформации изучаемых ядер проводились так же как в //18/, учитываясь квадрупольная $-\beta_{20}$ и гексадекапольная $-\beta_{40}$ -деформации.

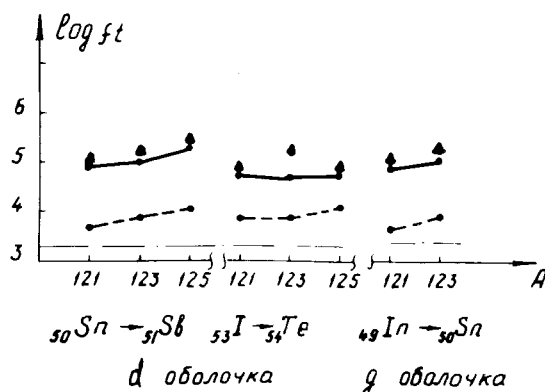


Рис. 1. Сравнение теоретических и экспериментальных значений $\log f_t$. Использованы следующие обозначения: штрих-пунктирная линия - одночастичная модель, пунктирная - одночастичная модель с учетом парного взаимодействия, сплошная линия - расчеты по формулам //27// и //28/, треугольники - экспериментальные значения //21/.

Типичная зависимость энергии основного состояния $\mathcal{E}(\beta_{20}, \beta_{40})$ от параметра деформации β_{20} при фиксированном значении β_{40} приведена для трех изотопов Xe на рис. 2. Как видно из рисунка, функция $\mathcal{E}(\beta_{20}, \beta_{40})$ имеет

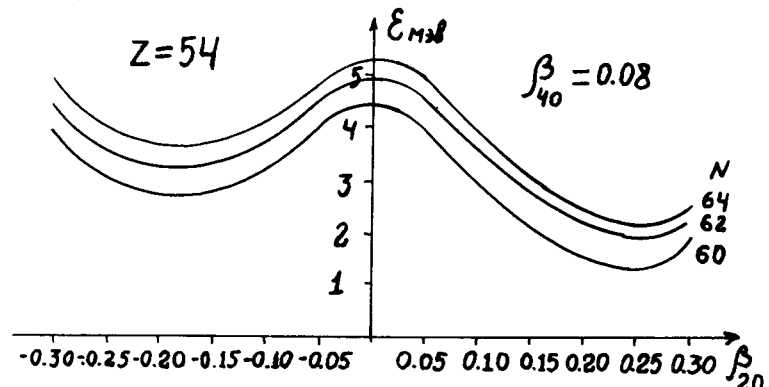


Рис. 2. Зависимость энергии основного состояния изотопов Xe от параметра квадрупольной деформации.

два минимума: при положительной и отрицательной квадрупольной деформации, причем положительная деформация энергетически более выгодна. Отметим, что зависимость энергии деформации от β_{40} оказывается слабой.

Далее исследовались структура и распадные свойства гамов-теллеровских возбуждений в нечетных изотопах $^{117-123}\text{Cs}$. Представляет большой интерес установить область энергий, в которой лежат состояния, заселяющиеся с наибольшей вероятностью $\beta^{(+)}\text{-распада}$, и изучить поведение силовой функции в зависимости от энергии возбуждения. На рис. 3 показан спектр гамов-теллеровских возбуждений с наибольшими значениями приведенных вероятностей $\beta^{(+)}\text{-распада}$ в нечетном изотопе ^{119}Cs в сферической и деформированной одночастичной схеме соответственно. На рис. 3а отсчет энергии ведется от предполагаемого основного состояния дочернего ядра $2d_{5/2}^P$. Анализ показывает, что в области энергий 3-4 МэВ состояния слабо коллективизированы и характеризуются малыми значениями приведенной вероятности $B_{\Gamma-T}^{(+)}$. Среди этих состояний имеется одно со сравнительно большим значением $B_{\Gamma-T}^{(+)} \approx 0,3$, которое является почти трехквазичастичным состоянием с квазичастицами на уровнях $2d_{5/2}^n (2d_{5/2}^P, 2d_{3/2}^n)^{1+}$. В области энергий 5-6 МэВ

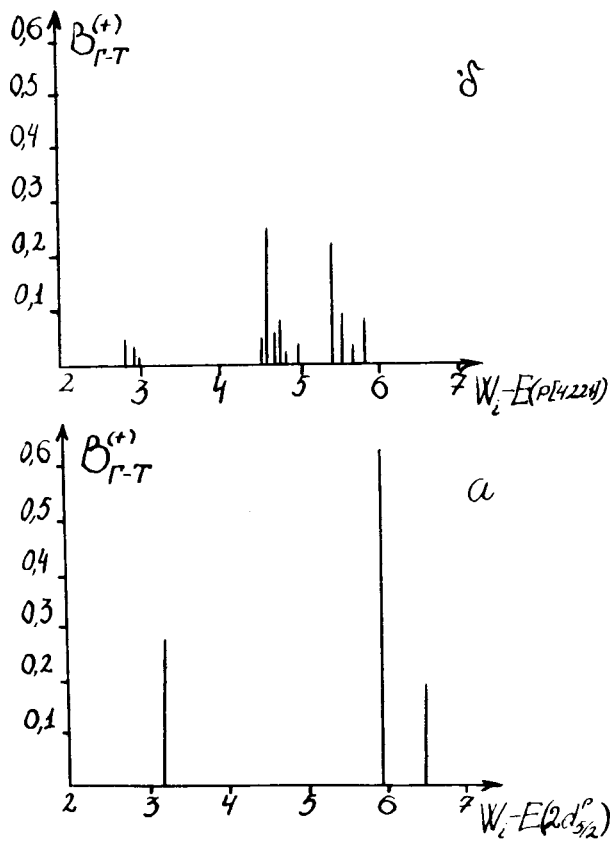


Рис. 3. Спектр Г-Т возбуждений для ^{119}Cs в сферической /а/ и деформированной /б/ одночастичной схеме.

основную силу $\beta^{(+)}$ перехода вбирает в себя одно состояние с приведенной вероятностью $B_{\Gamma-T}^{(+)}=0.6$. В волновой функции этого состояния доминирующей является трехквазичастичная компонента $2d_{5/2}^n (1g_{9/2}^p 1g_{7/2}^n)^{1+}$.

На рис. 3б отсчет энергии ведется от предполагаемого основного состояния дочернего ядра ^{119}Cs , в котором нечетный протон находится в поле деформированного остова Xe на уровне $p[422 \downarrow]^*$. Наличие деформации

Форма силовой функции малочувствительна к спинам основных состояний материнского и дочернего ядер.

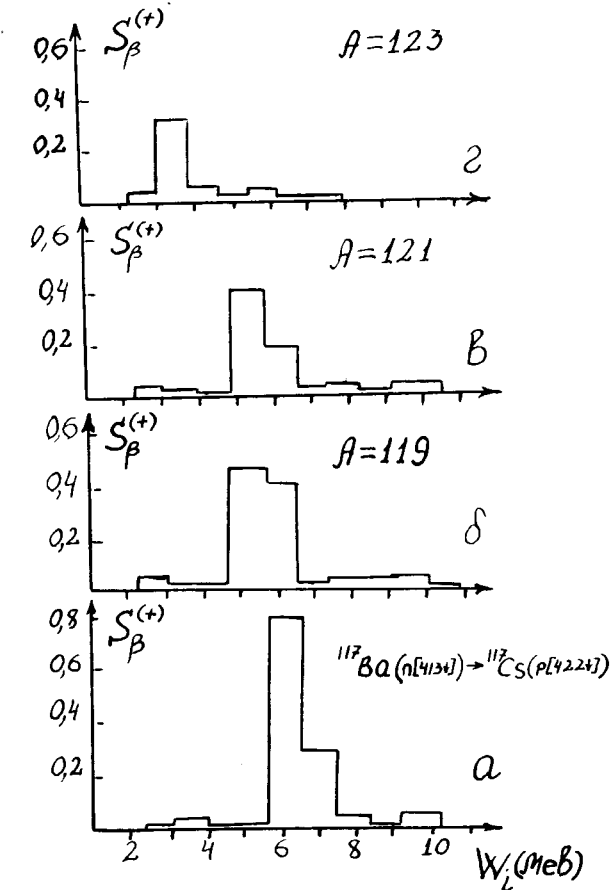


Рис. 4. Энергетическая зависимость силовой функции $S_{\beta}^{(+)}$ изотопов $^{117-123}\text{Ba}$. Усреднение проводилось в интервале энергий $\Delta E = 0,75 \text{ МэВ}$.

резко увеличивает число возбужденных состояний, и их плотность достигает примерно 15 МэВ^{-1} . Поэтому интересно проследить ход силовой функции $\beta^{(+)}$ -распада, определенной в [19], в зависимости от энергии возбуждения дочернего ядра. Расчеты показывают, что силовая функция $\beta^{(+)}$ распада ^{119}Ba имеет максимум при энергии $4-5 \text{ МэВ}$ /см. рис. 4б/, что хорошо согласуется с экспериментальными данными группы Карнаухова [19]. При

Таблица 1
Характеристики ряда Г-Т возбуждений с наибольшими
значениями $B_{\Gamma-T}^{(+)}$ в ^{119}Cs

Энергия возбуждения W_i (МэВ)	$B_{\Gamma-T}^{(+)}$	E_{γ} (МэВ)	Структура состояний		
			n	p	r
4.47	0.043	4.83	(421 \downarrow - 421 \uparrow) 413 \downarrow 88%		
			(404 \downarrow - 404 \uparrow) 413 \downarrow 10%		
			(404 \downarrow - 404 \uparrow) 413 \downarrow 56%		
			(541 \uparrow - 532 \uparrow) 413 \downarrow 21%		
			(420 \uparrow - 422 \downarrow) 413 \downarrow 8%		
4.50	0.280	4.02	(411 \downarrow + 431 \downarrow) 413 \downarrow 33		
			(422 \downarrow - 420 \uparrow) 413 \downarrow 4		
			(413 \downarrow - 413 \uparrow) 413 \downarrow 2.5%		
			(411 \uparrow + 431 \downarrow) 413 \downarrow 2.5		
4.62	0.064	4.67	(411 \downarrow + 431 \downarrow) 413 \downarrow 58%		
			(411 \uparrow - 431 \downarrow) 413 \downarrow 21%		
			(404 \downarrow - 413 \downarrow) 413 \downarrow 8		
			(404 \downarrow - 404 \uparrow) 413 \downarrow 6.5		
5.24	0.240	4.08	(413 \downarrow - 413 \uparrow) 413 \downarrow 70%		
			(411 \downarrow + 411 \uparrow) 413 \downarrow 20%		
			(404 \downarrow - 404 \uparrow) 413 \downarrow 4		
			(402 \uparrow - 413 \downarrow) 413 \downarrow 1.5%		
			(402 \uparrow - 420 \downarrow) 413 \downarrow 1		

формировании этого максимума доминирующую роль играют возбужденные состояния с энергией 4,5 и 5,2 МэВ. Эти состояния вбирают в себя основную /90%/ силу $\beta^{(+)}_{\text{перехода}}$. Структура таких состояний приведена в табл. 1. Из таблицы видно, что в волновых функциях этих состояний главными являются трехквазичастичные компоненты $n[413\downarrow]\{p[404\uparrow]-n[404\downarrow]\}^1$ и $n[413\downarrow]\{p[413\uparrow]-n[413\downarrow]\}^1$ соответственно.

На рис. 4 демонстрируется ход силовой функции для четырех нечетных изотопов $^{117-123}\text{Ba}$. Расчеты показывают, что с увеличением массового числа A полная сила $\beta^{(+)}_{\text{распада}}$ уменьшается, и положение максимума силовой функции смещается в сторону с меньшими энергиями возбуждения.

Наконец, на рис. 5 сравниваются экспериментальная /20/ и теоретические силовые функции, полученные в сферически симметричном базисе для ядра ^{117}Xe в работе Мартинсена и Рандрупа /9/ и в настоящей работе. Как видно из рисунка, наши результаты хорошо описывают абсолютную величину и качественное поведение силовой функции в зависимости от энергии гамов-теллеровского возбуждения.

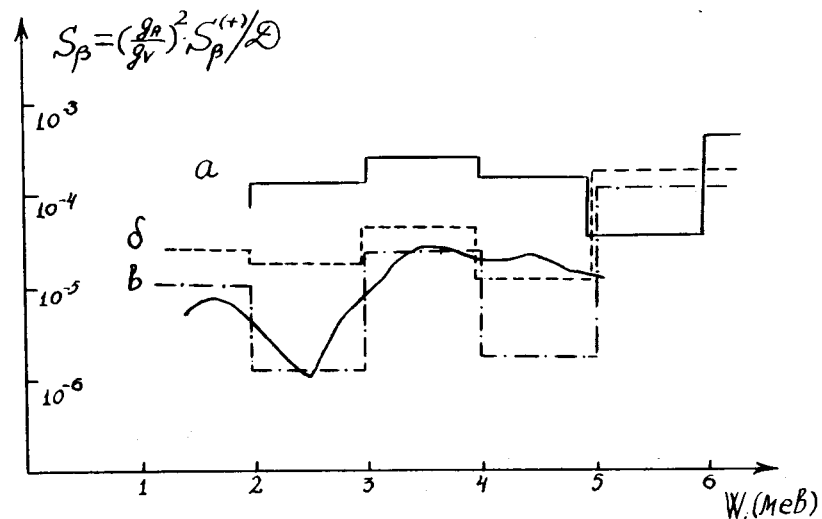


Рис. 5. Сравнение теоретических и экспериментальной силовых функций изотопа ^{117}Xe . $S_{\beta}^{(+)}$ определена в /19/, $(g_A/g_V)^2 = 1.55$, $D = 6260$ с., усреднение проводилось в интервале энергий $\Delta E = 1$ МэВ. а - соответствует вычислениям Мартинсена и Рандрупа /9/ в оболочечной модели со спариванием, б и в - результаты настоящей работы с $\kappa_{\beta} = 0$ и $\kappa_{\beta} = 0.13$ МэВ, соответственно. Сплошная кривая относится к эксперименту /20/.

Результаты исследования можно резюмировать следующим образом:

1. Теория предсказывает для изотопов $^{119,121}\text{Ba}$ максимум в силовой функции $\beta^{(+)}$ -перехода при энергии 4-5 МэВ, в формировании которого главными являются разрешенные а.у. -переходы $p[404^+ \rightarrow p[404^-]$ и $p[413^+ \rightarrow p[413^-]$. Состояния этой области дают примерно 90% вклада в полную силу $\beta^{(+)}$ -распада. Поэтому они могут наблюдаться в опытах с запаздывающими протонами.

2. При изменении константы Г-Т взаимодействия положение максимума и форма силовой функции существенно не меняются, а изменяется только абсолютная вероятность $\beta^{(+)}$ -перехода /например, при увеличении κ_B в два раза $B_{\beta^+}^{(+)}$ уменьшается на 40%/.

3. Форма силовой функции нечувствительна к спинам основных состояний ядер, участвующих в β^- -распаде. С увеличением массового числа A максимум силовой функции изотопов $^{117-123}\text{Ba}$ смещается в сторону меньших энергий возбуждения.

В заключение выражаем свою признательность Н.И.Пятову и В.А.Карнаухову за интерес к работе и ценные советы. Благодарим также В.Картавенко за постоянную помощь.

Литература

1. В.А.Карнаухов. ЭЧАЯ, т. 4, вып. 4, Атомиздат, 1973.
2. Д.Д.Богданов и др. ОИЯИ, Р6-7716, Дубна, 1974.
3. K.Ikeda, S.Fujii, J.I.Fujita. Phys.Lett., 3, 271 (1963).
J.I.Fujita, S.Fujii, K.Ikeda. Phys.Rev., 133, B549 (1964).
4. J.I.Fujita, K.Ikeda. Nucl.Phys., 67, 145 (1965).
5. M.Yamada. Bull.Sci.Eng. Research Lab. (Waseda University), No. 31-32, 146 (1965).
6. K.Takahashi, M.Yamada. Progr. Theor. Phys., 41 47 (1969).
7. S.I.Gabrakov, N.I.Pyatov. Symposium on Nuclear and Weak Interactions, Zagreb, July, 1971.
8. S.I.Gabrakov, A.A.Kuliev, N.I.Pyatov. Phys.Lett., 36B, 275 (1971).

- С.И.Габраков, А.А.Кулиев, Д.И.Саламов. ОИЯИ, Р4-5744, Дубна, 1971;
С.И.Габраков, А.А.Кулиев, Г.Шульц. ОИЯИ, Р2-6874, Дубна, 1972.
9. P.O.Martinsen, J.Randrup. Nucl.Phys., A195, 26 (1972).
 10. Ю.В.Гапонов, Ю.С.Лютоостанский. ЯФ, 19, 62 /1974/.
 11. С.И.Габраков, А.А.Кулиев. ОИЯИ, Р4-5503, Дубна, 1970.
 12. J.Halbleib, R.A.Sorensen. Nucl.Phys., A98, 542 (1967).
 13. R.A.Sorensen. Arkiv for Fysik, 36, 657 (1965), Nucl. Struct., Dubna, Symposium, 1968 IAEA Vienna (1968), p. 27.
 14. О.Бор, Б.Моттельсон. Структура атомного ядра, п. 1, "Мир", М., 1971.
 15. Ф.А.Гареев, С.П.Иванова, Б.Н.Калинкин. Изв. АН СССР, сер. физ., 32, 1960 /1968/.
Н.Ю.Ширикова. ОИЯИ, Р5-3712, Дубна, 1968.
 16. В.Г.Соловьев. Теория сложных ядер. Наука, М., 1971.
 17. D.A.Arseeniev, A.Sobiczewski, V.G.Soloviev. Nucl. Phys., A139, 269 (1969).
 18. С.П.Иванова, С.И.Федотов. ОИЯИ, Р4-8282, Дубна, 1974.
 19. В.А.Карнаухов. Автографат докторской диссертации ОИЯИ, б-7845, Дубна, 1974.
 20. P.G.Hansen. Advances in Nuclear Physics, 7, 159 (1973).
 21. Londolt-Bornstein. New Series, Vol. 1, Energy Levels of Nuclei (Springer, Berlin, 1961).

Рукопись поступила в издательский отдел
12 июня 1975 года.